

Starkniederschlagshöhen und -spenden gemäß KOSTRA-DWD-2020

Rasterfeld 131109

(Zeile 131, Spalte 109)

Regenspende und Bemessungsniederschlagswerte in Abhängigkeit von Wiederkehrzeit T und Dauerstufe D

| Dauerstufe D | | Wiederkehrzeit T | | | | | | | | | | | | | | | | | |
|--------------|-----|------------------|------------|------|------------|------|------------|-------|------------|-------|------------|-------|------------|-------|------------|-------|------------|-------|------------|
| | | 1 a | | 2 a | | 3 a | | 5 a | | 10 a | | 20 a | | 30 a | | 50 a | | 100 a | |
| min | Std | mm | l / (s ha) | mm | l / (s ha) | mm | l / (s ha) | mm | l / (s ha) | mm | l / (s ha) | mm | l / (s ha) | mm | l / (s ha) | mm | l / (s ha) | mm | l / (s ha) |
| 5 | | 6,1 | 203,3 | 7,5 | 250,0 | 8,3 | 276,7 | 9,4 | 313,3 | 11,0 | 366,7 | 12,7 | 423,3 | 13,7 | 456,7 | 15,2 | 506,7 | 17,2 | 573,3 |
| 10 | | 7,9 | 131,7 | 9,7 | 161,7 | 10,8 | 180,0 | 12,2 | 203,3 | 14,3 | 238,3 | 16,4 | 273,3 | 17,8 | 296,7 | 19,7 | 328,3 | 22,3 | 371,7 |
| 15 | | 9,1 | 101,1 | 11,1 | 123,3 | 12,4 | 137,8 | 14,1 | 156,7 | 16,4 | 182,2 | 18,9 | 210,0 | 20,5 | 227,8 | 22,6 | 251,1 | 25,6 | 284,4 |
| 20 | | 10,0 | 83,3 | 12,3 | 102,5 | 13,6 | 113,3 | 15,5 | 129,2 | 18,1 | 150,8 | 20,8 | 173,3 | 22,5 | 187,5 | 24,9 | 207,5 | 28,2 | 235,0 |
| 30 | | 11,4 | 63,3 | 14,0 | 77,8 | 15,5 | 86,1 | 17,6 | 97,8 | 20,6 | 114,4 | 23,7 | 131,7 | 25,7 | 142,8 | 28,3 | 157,2 | 32,1 | 178,3 |
| 45 | | 13,0 | 48,1 | 15,9 | 58,9 | 17,6 | 65,2 | 20,0 | 74,1 | 23,4 | 86,7 | 26,9 | 99,6 | 29,2 | 108,1 | 32,1 | 118,9 | 36,4 | 134,8 |
| 60 | 1 | 14,2 | 39,4 | 17,3 | 48,1 | 19,3 | 53,6 | 21,8 | 60,6 | 25,5 | 70,8 | 29,4 | 81,7 | 31,9 | 88,6 | 35,1 | 97,5 | 39,8 | 110,6 |
| 90 | 1,5 | 16,0 | 29,6 | 19,6 | 36,3 | 21,8 | 40,4 | 24,7 | 45,7 | 28,9 | 53,5 | 33,2 | 61,5 | 36,0 | 66,7 | 39,7 | 73,5 | 45,1 | 83,5 |
| 120 | 2 | 17,5 | 24,3 | 21,4 | 29,7 | 23,8 | 33,1 | 27,0 | 37,5 | 31,5 | 43,8 | 36,2 | 50,3 | 39,3 | 54,6 | 43,4 | 60,3 | 49,1 | 68,2 |
| 180 | 3 | 19,8 | 18,3 | 24,2 | 22,4 | 26,9 | 24,9 | 30,5 | 28,2 | 35,6 | 33,0 | 40,9 | 37,9 | 44,4 | 41,1 | 49,0 | 45,4 | 55,5 | 51,4 |
| 240 | 4 | 21,5 | 14,9 | 26,3 | 18,3 | 29,3 | 20,3 | 33,2 | 23,1 | 38,8 | 26,9 | 44,6 | 31,0 | 48,4 | 33,6 | 53,4 | 37,1 | 60,5 | 42,0 |
| 360 | 6 | 24,3 | 11,3 | 29,7 | 13,8 | 33,1 | 15,3 | 37,5 | 17,4 | 43,8 | 20,3 | 50,3 | 23,3 | 54,6 | 25,3 | 60,2 | 27,9 | 68,3 | 31,6 |
| 540 | 9 | 27,4 | 8,5 | 33,5 | 10,3 | 37,3 | 11,5 | 42,3 | 13,1 | 49,4 | 15,2 | 56,8 | 17,5 | 61,6 | 19,0 | 68,0 | 21,0 | 77,0 | 23,8 |
| 720 | 12 | 29,9 | 6,9 | 36,5 | 8,4 | 40,6 | 9,4 | 46,0 | 10,6 | 53,8 | 12,5 | 61,9 | 14,3 | 67,1 | 15,5 | 74,0 | 17,1 | 83,9 | 19,4 |
| 1080 | 18 | 33,7 | 5,2 | 41,2 | 6,4 | 45,8 | 7,1 | 51,9 | 8,0 | 60,7 | 9,4 | 69,8 | 10,8 | 75,7 | 11,7 | 83,5 | 12,9 | 94,7 | 14,6 |
| 1440 | 24 | 36,7 | 4,2 | 44,8 | 5,2 | 49,9 | 5,8 | 56,6 | 6,6 | 66,1 | 7,7 | 76,0 | 8,8 | 82,5 | 9,5 | 90,9 | 10,5 | 103,1 | 11,9 |
| 2880 | 48 | 45,0 | 2,6 | 55,1 | 3,2 | 61,3 | 3,5 | 69,5 | 4,0 | 81,2 | 4,7 | 93,3 | 5,4 | 101,3 | 5,9 | 111,7 | 6,5 | 126,6 | 7,3 |
| 4320 | 72 | 50,8 | 2,0 | 62,1 | 2,4 | 69,1 | 2,7 | 78,3 | 3,0 | 91,6 | 3,5 | 105,3 | 4,1 | 114,2 | 4,4 | 126,0 | 4,9 | 142,8 | 5,5 |
| 5760 | 96 | 55,3 | 1,6 | 67,6 | 2,0 | 75,3 | 2,2 | 85,3 | 2,5 | 99,7 | 2,9 | 114,6 | 3,3 | 124,4 | 3,6 | 137,2 | 4,0 | 155,5 | 4,5 |
| 7200 | 120 | 59,1 | 1,4 | 72,3 | 1,7 | 80,4 | 1,9 | 91,1 | 2,1 | 106,6 | 2,5 | 122,5 | 2,8 | 132,9 | 3,1 | 146,5 | 3,4 | 166,1 | 3,8 |
| 8640 | 144 | 62,4 | 1,2 | 76,3 | 1,5 | 84,9 | 1,6 | 96,2 | 1,9 | 112,5 | 2,2 | 129,3 | 2,5 | 140,3 | 2,7 | 154,7 | 3,0 | 175,3 | 3,4 |
| 10080 | 168 | 65,3 | 1,1 | 79,8 | 1,3 | 88,8 | 1,5 | 100,7 | 1,7 | 117,7 | 1,9 | 135,3 | 2,2 | 146,8 | 2,4 | 161,9 | 2,7 | 183,5 | 3,0 |

Starkniederschlagshöhen und -spenden gemäß KOSTRA-DWD-2020

Rasterfeld 131109

(Zeile 131, Spalte 109)

Örtliche Unsicherheiten in Abhängigkeit von Wiederkehrzeit T und Dauerstufe D

| Dauerstufe D | | Wiederkehrzeit T | | | | | | | | |
|--------------|-----|------------------|-----|-----|-----|------|------|------|------|-------|
| | | 1 a | 2 a | 3 a | 5 a | 10 a | 20 a | 30 a | 50 a | 100 a |
| min | Std | ± % | ± % | ± % | ± % | ± % | ± % | ± % | ± % | ± % |
| 5 | | 12 | 14 | 14 | 15 | 16 | 17 | 17 | 18 | 18 |
| 10 | | 15 | 17 | 18 | 19 | 20 | 21 | 21 | 22 | 22 |
| 15 | | 16 | 18 | 19 | 20 | 21 | 22 | 22 | 23 | 23 |
| 20 | | 16 | 18 | 19 | 20 | 21 | 22 | 23 | 23 | 24 |
| 30 | | 16 | 18 | 19 | 20 | 21 | 22 | 23 | 23 | 24 |
| 45 | | 16 | 18 | 19 | 20 | 21 | 22 | 22 | 23 | 23 |
| 60 | 1 | 15 | 17 | 18 | 19 | 20 | 21 | 22 | 22 | 23 |
| 90 | 1,5 | 14 | 16 | 17 | 18 | 19 | 20 | 20 | 21 | 22 |
| 120 | 2 | 13 | 15 | 16 | 17 | 18 | 19 | 20 | 20 | 21 |
| 180 | 3 | 12 | 14 | 15 | 16 | 17 | 18 | 18 | 19 | 19 |
| 240 | 4 | 11 | 13 | 14 | 15 | 16 | 17 | 17 | 18 | 18 |
| 360 | 6 | 9 | 11 | 12 | 13 | 14 | 15 | 16 | 16 | 17 |
| 540 | 9 | 8 | 10 | 11 | 12 | 13 | 14 | 14 | 15 | 15 |
| 720 | 12 | 8 | 9 | 10 | 11 | 12 | 13 | 13 | 14 | 14 |
| 1080 | 18 | 7 | 8 | 9 | 10 | 11 | 12 | 12 | 12 | 13 |
| 1440 | 24 | 7 | 8 | 9 | 9 | 10 | 11 | 11 | 12 | 12 |
| 2880 | 48 | 8 | 8 | 8 | 9 | 9 | 10 | 10 | 10 | 11 |
| 4320 | 72 | 9 | 9 | 9 | 9 | 9 | 10 | 10 | 10 | 10 |
| 5760 | 96 | 10 | 10 | 9 | 9 | 9 | 10 | 10 | 10 | 10 |
| 7200 | 120 | 11 | 10 | 10 | 10 | 10 | 10 | 10 | 10 | 10 |
| 8640 | 144 | 12 | 11 | 10 | 10 | 10 | 10 | 10 | 10 | 10 |
| 10080 | 168 | 13 | 11 | 11 | 11 | 10 | 10 | 10 | 10 | 11 |

Parameter für abweichende T und D

Lokationsparameter ξ (Xi)

14,32301481

Skalenparameter α (Alpha)

4,4356535

Formparameter κ (Kappa)

-0,1

1. Koutsoyiannis-Parameter θ (Theta)

0,01478003

2. Koutsoyiannis-Parameter η (Eta)

0,70379809

Parameter für dauerstufenübergreifende Extremwertschätzung nach KOUTSOYIANNIS et al. 1998.

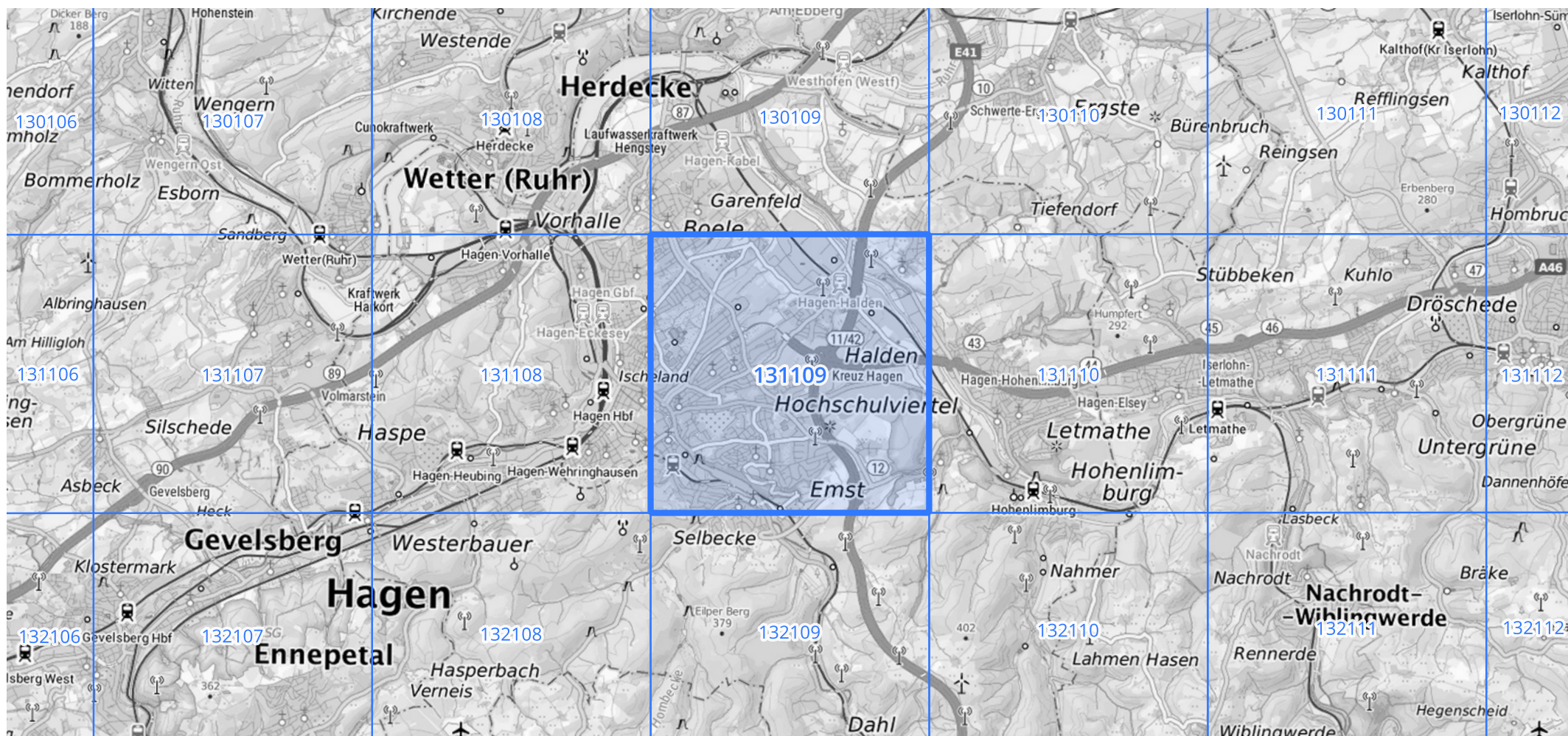
Siehe auch Anwendungshilfe zu KOSTRA-DWD-2020 des Deutschen Wetterdienstes.

Starkniederschlagshöhen und -spenden gemäß KOSTRA-DWD-2020

Rasterfeld 131109

(Zeile 131, Spalte 109)

Übersichtskarte des Rasterfeldes 131109, M 1 : 100 000



Quelle Rasterdaten: KOSTRA-DWD-2020 des Deutschen Wetterdienstes, Stand 12/2022.

Seite 3 von 3

Kartendarstellung: © Bundesamt für Kartographie und Geodäsie (2023), Datenquellen: https://sgx.geodatenzentrum.de/web_public/gdz/datenquellen/Datenquellen_TopPlusOpen.html

Für die Richtigkeit und Aktualität der Angaben wird keine Gewähr übernommen. Erstellt 01/2023.